

УДК 677.024

**О ВЫБОРЕ ЗАКОНА ДВИЖЕНИЯ  
ПРИМЕНЯЕМОГО В ПРИВОДЕ  
ЗЕВООБРАЗУЮЩЕГО МЕХАНИЗМА (ЗОМ)  
ТКАЦКОГО СТАНКА**

В.А. МАКАРОВ, Е.Н. ХОЗИНА, А.В. ЛЕБЗАК

(Московский государственный текстильный университет им. А.Н. Косыгина)

Приводное звено ЗОМ может перемещаться по различным законам в зависимости от формы функции ускорения. В качестве примера рассмотрим закон движения приводного элемента ЗОМ, выраженного одним из видов законов Неклютина [1], [2]. Для группы законов Неклютина, у которых функция ускорения симметрична как в ее положительной, так и отрицательной фазах, введем обозначение МТРАП- $C_{kt}$ , где коэффициент  $k_t$  обозначает отношение фазового угла развития ускорения к фазовому углу положительной фазы ускорения.

Для расчета были приняты следующие исходные данные: фазовый угол вращения главного вала станка 0...360°; центр ролика коромысла кулачкового механизма привода перемещается на 28 мм; минимальный

радиус кулачка 124,5 мм; максимальный радиус 152,5 мм. Коромысло длиной 70 мм совершает качание на угол 23,104404°; значение  $k_t$  задается в пределах 0,0...0,5 с шагом 0,15.

Проанализируем законы движения МТРАП- $C_{kt}$  с использованием многокритериального анализа по методике, описанной в [3].

Результаты анализа показали, что закон движения МТРАП- $C_{kt}$  при  $k_t=0,0$  имеет минимальное значение ускорения  $A_{\varepsilon 0}$ , но обуславливает "мягкий" удар в середине цикла движения привода ремизки; при  $k_t = 0,5$  закон МТРАП- $C_{kt}$  вырождается в гармонический и максимальная амплитуда его ускорения  $A_{\varepsilon S}=1,57A_{\varepsilon 0}$ , то есть на 57% больше, чем при  $k_t=0,0$ .

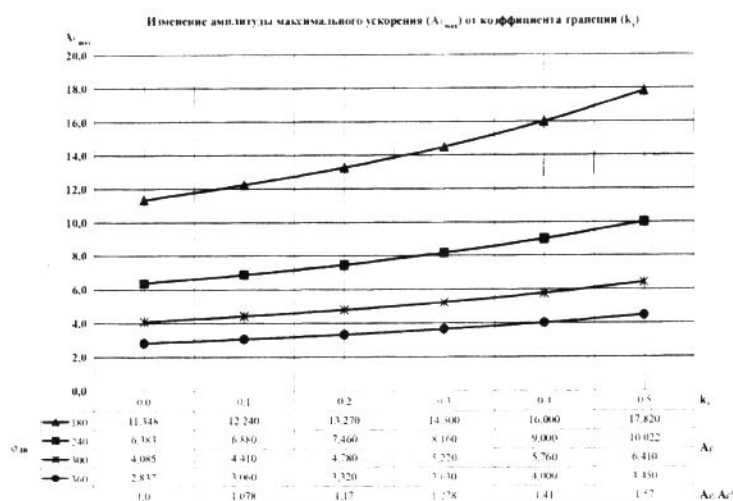


Рис. 1

На рис. 1 показаны графики изменения значений  $A\varepsilon_{\max}$  в зависимости от цикловых углов движения  $\phi_{uv}$  равных:  $180^\circ$ ,  $240^\circ$ ,  $300^\circ$ ,  $360^\circ$  при изменении  $k_t$  от 0,0 до 0,5.

Изменение  $A\varepsilon_{\max}$  в зависимости от  $\phi_{dv}$  и  $k_t$  может быть выражено формулами:

$$A\varepsilon = (1 + 0,742k_t + 0,346k_t^2 + 0,901k_t^3)A\varepsilon^0,$$

или

$$A\varepsilon = (1 + 0,742k_t + 0,346k_t^2 + 0,901k_t^3)4S/\phi_{dv}^2,$$

где  $A\varepsilon^0$  – значение ускорения при  $k_t = 0,0$ \*.

Расчет показывает, что величина максимального ускорения  $A\varepsilon$  возрастает с увеличением  $k_t$  и уменьшается пропорционально квадрату увеличения фазового угла движения  $\phi_{dv}$ . Величина амплитуды максимального ускорения  $A\varepsilon$  увеличивается пропорционально перемещению рабочего органа S или росту максимального значения  $A_{S\max}$ . Зависимость от  $A\varepsilon^{kt}$  в долях от  $A\varepsilon^0$  может быть выражена формулой:

$$A\varepsilon^{kt}/A\varepsilon^0 = 1 + 0,742k_t + 0,364k_t^2 + 0,901k_t^3.$$

Значения  $A\varepsilon^{kt}/A\varepsilon^0$  от  $k_t$  представлены в табл. 1.

Таблица 1

$k_t$	0,0	0,1	0,15	0,2	0,25	0,3	0,33	0,35	0,4	0,45	0,5
$A\varepsilon^{kt}/A\varepsilon^0$	1	1,078	1,122	1,17	1,221	1,278	1,315	1,341	1,41	1,486	1,57

Как показывает расчет, величина фазового угла выстоя  $\phi_{uv}$  увеличивается пропорционально росту  $\phi_{dv}$  и возрастает с увеличением  $k_t$  и  $\Delta A_S$ , то есть с ростом вели-

чины перемещения ремизки или рабочего органа, приводящего ее в движение. Увеличение угла  $\phi_{uv}$  с ростом значения  $k_t$  от 0,0 до 0,5 составляет 27,4%.

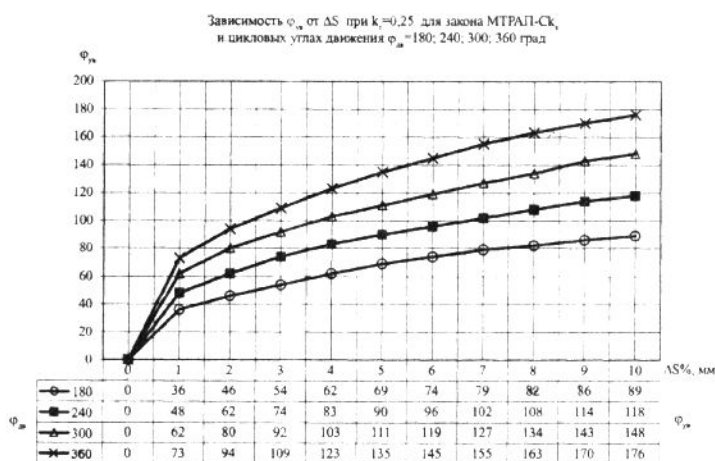


Рис. 2

На рис. 2 показаны графики зависимости  $\phi_{uv}$  от  $\Delta A_S$  (при различных значениях  $\phi_{dv}$  для закона движения с  $k_t = 0,25$ ), из которых следует, что резкое нарастание значения  $\phi_{uv}$  оканчивается в зоне значений  $\Delta A_S$ , равной 3,5%, и в дальнейшем, то есть при росте  $\Delta A_S$  более чем на 5,5%, увеличение  $\phi_{uv}$  происходит практически пропорционально  $\Delta A_S$  с коэффициентом  $k_{\phi S} \approx 2$ , то есть 1% приращения амплитуды перемещения  $A_S$  увеличивает  $\phi_{uv}$  на 2,0...2,7%.

Как видно из графиков рис. 1 и 2,  $A\varepsilon$  и  $\phi_{uv}$  – обе функции увеличиваются с ростом  $k_t$  и нет такого значения  $k_t$ , при котором минимуму  $A\varepsilon$  соответствовало бы максимальное значение  $\phi_{uv}$ . Параметры  $\phi_{uv}$ ,  $A\varepsilon$  и  $k_t$  находятся в однозначном соответствии, причем величина  $\phi_{uv}$  зависит от принимаемого значения  $\Delta A_S$ , или последнее может быть однозначно определено при заданных значениях  $\phi_{uv}$  и  $A\varepsilon$ .

\* В дальнейшем значения параметров с индексом 0 в верхнем регистре берутся при значении  $k_t=0,0$ .

В связи с тем, что установленные зависимости нелинейны, имеет смысл рассмотреть зависимость увеличения  $\phi_{yb}$  от  $A_e$  (то есть от  $\phi_{yb}$  и  $k_t$ ) при выбранном значении  $\Delta A_s$ . Анализ графика рис. 2 и зависимости  $\phi_{yb}$  от  $k_t$  показывает, что величина  $\Delta A_s$  практически не зависит от  $\phi_{db}$ , а зависит только

от  $k_t$ , поэтому, приняв  $\Delta A_s$  равным 5,0% от  $A_{smax}$ , или от  $\alpha_k$  – угла качания ведущего звена привода (коромысла кулачкового привода, журавлика ремизоподъемной каретки или ножей жаккардовой машины), рассмотрим зависимость  $\phi_{yb}$  от  $\phi_{db}$  и  $k_t$  при  $\Delta A_s = 5,0\%$ .

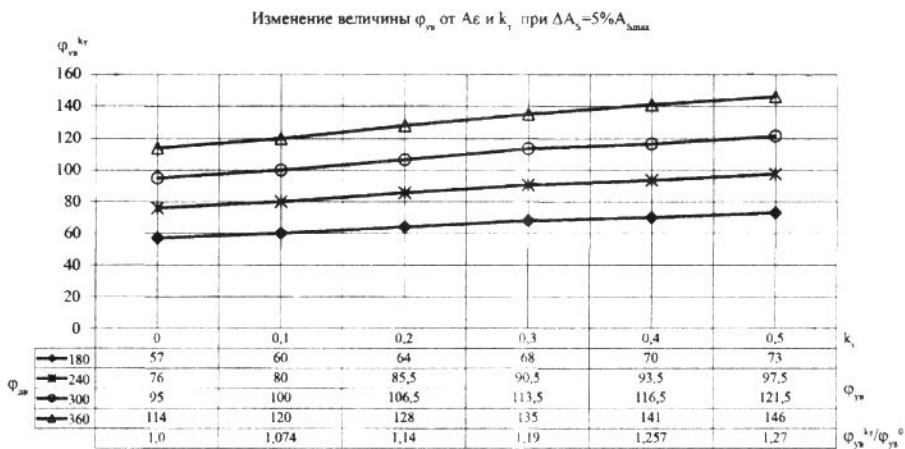


Рис. 3

На рис. 3 в таблице и графиках показан рост величины  $\phi_{yb}$  от  $k_t$  и  $\phi_{db}$  при  $\Delta A_s\% = 5,0\%$ .

Величина  $\phi_{yb}$  увеличивается пропорционально росту  $\phi_{db}$  и возрастает с увеличением  $k_t$  на 27,4%. Изменение  $\phi_{yb}$  в зависимости от  $\phi_{db}$  и  $k_t$  при  $\Delta A_s = 5\%$  от  $A_{smax}$  можно выразить так:

$$\phi_{yb}^0 = 0,484 + 29,963\Delta A_s\% - 7,165\Delta A_s\%^2 + 0,689\Delta A_s\%^3.$$

В табл. 2 приведены значения угла  $\phi_{yb}$  в зависимости от роста  $\Delta A_s$ .

$$\phi_{yb}^{kt} = (1 + 0,775k_t - 0,379k_t^2 - 0,162k_t^3)\phi_{yb}^0.$$

Зависимость  $\phi_{yb}^0$  от  $\Delta A_s\%$  для закона движения, имеющего  $k_t = 0,0$  и  $\phi_{db} = 180^\circ$  до  $\Delta A_s = 5,0\%$ , можно представить следующим образом:

Таблица 2								
№ п/п	Параметр	Значение параметра						
1	Увеличение зева после влета прокладчика $\Delta A_s\%$ от $A_{smax}$ , %	1,0	2,5	5,0	7,5	10,0	15,0	20,0
2	Угол условного выстоя $\phi_{yb}$ при $k_t=0,0$ , град, ЦД	23,97	41,38	57,3	70,0	82	98,5	113,5
								127,5

Увеличение натяжения основы при зе-вообразовании  $T_{zev}$  в зависимости от номе-

ра ремизки и величины заправочного на-тяжения  $T_{запр}$  представлено в табл. 3.

$T_{основы}$	Номер ремизки от берда			
	1...5	6...10	1...14	15...18
Среднее натяжение $T_{zev}$	(1,6...1,8) $T_{запр}$	(2,1...3,2) $T_{запр}$	(3,4...4,6) $T_{запр}$	(4,8...6,2) $T_{запр}$
Максимальное натяжение	(1,7...1,9) $T_{запр}$	(2,3...3,5) $T_{запр}$	(3,7...5,0) $T_{запр}$	(5,2...6,7) $T_{запр}$

Возрастание натяжения зевообразования  $T_{зев}$  при превышении высоты  $H_{зев}$  зева

в процентах показано в табл. 4.

Таблица 4

№ п/п	Параметр, %	% увеличения величины параметра						
1	$\Delta A_S$	1,25	2,5	3,75	5,0	6,25	7,5	10,0
2	$\Delta H_{зев}$	2,5	5,0	7,5	10,0	12,5	15,0	20,0
3	$\Delta T_{зев}$	5,0	10,25	15,56	21,0	26,56	32,25	44,0
4	$\Delta T_{зевmax}$	13,4	19,0	24,7	30,4	36,3	42,3	54,5

Превышение высоты зева на величину  $\Delta H$  более 5...6% приведет к росту натяжения основы с учетом коэффициента вариации натяжения при зевообразовании на 20...25%. Увеличение высоты зева более чем на 10% становится технологически неприемлемым.

Таким образом, рассмотрение зависимости увеличения угла условного выстоя  $\phi_{ув}$  от параметра закона  $k_t$  и увеличения натяжения зевообразования  $T_{зев}$  от превышения высоты зева более 10...12% показывает, что при расчете величины  $\phi_{ув}$  следует ограничиться величиной  $\Delta A_S$ , равной 5%, так как дальнейшее увеличение высоты зева не приводит к

значительному росту  $\phi_{ув}$ , а способствует лишь резкому увеличению натяжения основы, а следовательно, и резкому увеличению ее обрывности.

Таким образом, при выборе и расчете закона движения ремизок, расчете кулачкового привода ремизок, привода журавликов ремизоподъемных кареток или ножей жаккардовых машин следует ограничиваться превышением амплитуды качания приводного звена привода ЗОМ в 5...5,5% от  $A_{Smax}$ .

Изменение  $\phi_{ув}$  в зависимости от  $\phi_{дв}$  и  $k_t$  при  $\Delta A_S=5,0\%$  может быть выражено формулой

$$\phi_{ув}^{kt} = (0,317 + 0,245k_t - 0,12k_t^2 - 0,0513k_t^3)\phi_{дв} \text{ при } \Delta A_S=5,0\%.$$

Увеличение  $k_t$  ведет к росту как амплитуды ускорения  $A_a$ ,  $A\varepsilon$ , так и  $\phi_{ув}$ , поэтому проектировщику следует решать, что предпочтеть: увеличение угла условного выстоя или снижение амплитуды ускорения. Очевидно, это возможно только при учете реального диапазона частот вращения главных валов ткацких станков различных заправочных ширин и установлен-

ной скорости полета прокладчика  $v_{пр}$ .

В табл. 5 приведены рабочие скорости станков СТБ различных ширин при средней скорости полета прокладчика  $v_{пр}=20-22$  м/с; даны значения оптимального угла заступа и диапазон его изменения; рассчитаны значения цикловых углов полета прокладчика.

Таблица 5

№ п/п	Тип станка	$v_{пр}$ , м/с	$n$ , об/мин	Оптимальный фазовый угол установки заступа, град	Диапазон установки заступа, град	Фазовый угол полета прокладчика, град	Фазовый угол полета прокладчика с учетом $D_{заступа}$ , град
1	СТБ-180	20	260	35	25	140	165
2	СТБ-220	20	240	35	25	160	185
3	СТБ-250	21	230	22,5	22,5	165	190
4	СТБ-280	21	220	20...25	22,5	175	195
5	СТБ-330	22	210	20...25	22,5	190	215
6	СТБ-360	22	205	20...25	22,5	200	225
7	СТБ-390	24	190	20...25	20,5	215	235

Под диапазоном установки заступа понимается интервал фазовых углов циклограммы ткацкого станка, в пределах кото-

рого возможно изменение положения заступа основных нитей по требованию технологии ткачества [3].

Работа зевообразующего механизма должна обеспечить беспрепятственный пролет прокладчика через зев, то есть угол условного выстоя  $\Phi_{ув} > \Phi_{пп}$ , или  $\Phi_{ув} = \Phi_{пп} + 5^\circ$  фазового угла. Фазовый угол полета прокладчика может быть изменен на ткацком станке с погрешностью до  $+5^\circ$  фазового угла, поэтому при наладке станков предлагается увеличивать расчетное значение  $\Phi_{пп}$  на  $5^\circ$  фазового угла.

Закон движения ремиз должен обеспечить условный выстой  $\Phi_{ув}$  требуемой величины для каждого данного ткацкого станка. В зависимости от заправочной ширины

станка закон движения должен быть различным и обеспечивать угол условного выстоя ремиз: для СТБ-180 –  $165^\circ$ ; для СТБ-220-280 –  $185\ldots195^\circ$ ; для СТБ-330 –  $215^\circ$ ; для СТБ-360 –  $225^\circ$ ; для СТБ-390 –  $235^\circ$  при превышении необходимой и достаточной величины высоты зева не более чем на 5...6%.

В табл. 6 представлены законы в форме МТРАП-Ск<sub>т</sub> с участком безусловного выстоя ремиз  $\Phi_{вр}$ , которые могут быть использованы в приводе ЗОМ станков СТБ всей гаммы заправочных ширин.

Т а б л и ц а 6

№ п/п	Тип станка	Параметры закона МТРАП-Ск <sub>т</sub>					
		k <sub>т</sub>	$\Phi_{ув}$	$\Phi_{дв}$	$\Phi_{вр}$	$\Phi_{пп}^*$	$A\varepsilon^{kt=0.5**}$ , $A\varepsilon, \%$
1	СТБ-180	0,2	110	306	54	165	меньше на 7%
2	СТБ-220	0,25	103	278	82	185	меньше на 50%
3	СТБ-250	0,3	98	268	92	190	меньше на 21%
4	СТБ-280	0,3	95	260	100	195	меньше на 14%
5	СТБ-330	0,33(3)	91	236	124	215	больше на 7%
6	СТБ-360	0,35	85	220	140	225	больше на 22%
7	СТБ-390	0,4	81	206	154	235	больше на 35%

## ВЫВОДЫ

1. Нецелесообразно на базе законов Неклютина в форме МТРАП-Ск<sub>т</sub> создание универсального закона движения для привода ЗОМ ткацких станков различных ширин; каждый тип ткацкого станка в зависимости от его заправочной ширины, скорости прокладки уточни и рабочей скорости станка должен иметь соответствующий закон движения ЗОМ.

2. Применение кулачков с законом движения МТРАП-Ск<sub>т</sub> с  $k_t = 1/3$  при  $\Phi_{вр} = 0$  возможно только на станке СТБ-180 при установке заступа на фазовом угле, равном  $35^\circ$ ; при увеличении высоты зева на 25...30% и увеличении натяжения основы Т<sub>зев</sub> на 50...70% выше оптимального.

3. Для широких ткацких станков с шириной заправки 250...450 см возможно применение кулачков ЗОМ только с "базовым", "традиционным"<sup>1</sup> или вновь разработанными законами.

4. Для снижения  $A\varepsilon$  и увеличения  $\Phi_{ув}$ , особенно для широких станков, требуется разработка новых законов движения для кулачковых и кареточных приводов современных ткацких станков; разработка должна основываться на предложенной методике многокритериальной оценки и выборе оптимального закона движения рабочего звена привода.

## ЛИТЕРАТУРА

- Левитский Н.М. Кулачковые механизмы. – М.: Машиностроение, 1964.
- Ротбарт Г.А. Кулачковые механизмы. – М.: Судпромгиз, 1960.
- Макаров В.А., Хозина Е.Н., Лебзак А.В. // Текстильная промышленность. – 2004, № 4.
- Макаров В.А., Хозина Е.Н., Лебзак А.В. // Изв. вузов. Технология текстильной промышленности. – 2004, № 5. С. 76...80.

Рекомендована кафедрой проектирования текстильных машин. Поступила 23.06.04.

<sup>\*\*</sup>  $A\varepsilon^{kt=0.5}$  – величина максимального ускорения при «традиционном» законе ( $\Phi_{дв}=270^\circ$ ;  $\Phi_{вр}=90^\circ$ ).

<sup>1</sup> Наименование законов принято по работе [4].